

مقایسه‌ی چهار نوع مختلف حامل برای رشد سلول Vero و تکثیر ویروس هاری برای تولید واکسن هاری انسانی

سید مهدی حسن زاده^۱، دکتر احمد فیاض^۲، دکتر علی رضا زواره^۳، دکتر حسین خان احمد^۴، دکتر علی رمضانی^۵

نویسنده‌ی مسئول: تهران، انتستیتو پاستور ایران، بخش تحقیقات و مرکز رفرانس هاری WHO
Fayaz@pasteur.ac.ir

دریافت: ۸۹/۱۲/۹ پذیرش: ۹۰/۷/۲۱

چکیده

زمینه و هدف: در این مطالعه توانایی سلول Vero برای رشد روی فیبراسل دیسک، و سه نوع ریز حامل (*microcarrier*) شامل سیتودکس-۱ و سیتودکس-۳ و سیگما سولوهویل در فلاسک‌های همزن دار با حجم ۵۰۰ میلی‌لیتر حاوی محیط کشت سرم دار (*DMEM+۱۰٪ Fetal Calf Serum (FCS)*) و محیط کشت بدون سرم (*VP-SFM*) مورد مقایسه قرار گرفت. سپس تکثیر سویه‌ی فیکس ویروس هاری (Pasteur Virus PV) در سلول‌های رشد یافته در شرایط فوق به منظور تولید واکسن هاری بررسی و مقایسه شد.

روش بررسی: در فاز رشد از سامانه‌ی تعویض گامی محیط کشت (*Stepwise Perfusion*) استفاده شد و فاز تولید ویروس در سامانه‌ی ثابت (*Batch*) با استفاده از *Bovine Serum (BSA) Albumin M199 + ۰٪ Bovine Serum (BSA) Albumin M199* به عنوان محیط سرم دار و *VP-SFM* به عنوان محیط فاقد سرم انجام شد. مقدار ریز حامل استفاده شده بر حسب سطح (سانتی‌متر مربع) و تعداد سلول اولیه‌ی تلقیح شده به محیط کشت در آزمایش‌ها یکسان و به ترتیب برابر 12000 cm^2 و 2500 cells/cm^2 تعیین گردید.

یافته‌ها: بیشترین تعداد سلول با استفاده از فیبراسل دیسک در محیط کشت *DMEM* برابر با $7/1 \pm 0.7 \times 10^7 \text{ cells/cm}^2$ در روز نهم به دست آمد در حالی‌که کمترین تعداد سلول با استفاده از سیتودکس-۳ در محیط کشت *VP-SFM* برابر با $2/91 \pm 0.2 \times 10^7 \text{ cells/cm}^2$ حاصل شد. بیشترین تیتر ویروس هاری برابر با *FFU/ml* حاوی فیبراسل دیسک و *Fluorescent Focus Unit (FFU)/ml* حاوی فیبراسل دیسک و کمترین تیتر در محیط *M199* حاوی سیتودکس-۳ برابر $4/4 \pm 0.3/66 \times 10^7 \text{ FFU/ml}$ حاصل شد.

نتیجه‌گیری: در مجموع آزمایش‌ها فیبراسل دیسک بهتر از انواع ریز حامل رشد سلول‌ها را حمایت کرد و استفاده از *DMEM* برای رشد سلول و استفاده از *VP-SFM* برای تولید ویروس نتایج بهتری را نشان داد. واکسن تجربی تهیه شده با ویروس‌های جمع‌آوری شده از *VP-SFM* ایمنی‌زایی (*Potency*) قابل قبول معادل *IU ۲/۷۵* داشت. با توجه به نتایج این تحقیق و امکان تولید و روش ساده استفاده از فیبراسل دیسک، این حامل برای کشت سلول *Vero* و به منظور تکثیر ویروس هاری توصیه می‌گردد.

واژگان کلیدی: ریز حامل، سیتودکس، فیبراسل دیسک، *Vero*، هاری

۱- دانشجوی دکترای فرآورده‌های بیولوژیک، انتستیتو پاستور ایران، مجتمع تولیدی تحقیقاتی، بخش کنترل کیفیت

۲- دکترای دامپزشکی، استادیار انتستیتو پاستور ایران

۳- دکترای تخصصی فرآورده‌های بیولوژیک، استادیار انتستیتو پاستور ایران، مجتمع تولیدی و تحقیقاتی

۴- دکترای تخصصی فرآورده‌های بیولوژیک، استادیار دانشگاه علوم پزشکی زنجان

مقدمه

حجم کمی از محیط کشت یا بیوراکتور برای رشد سلول‌ها فراهم می‌کنند به نحوی که توده سلول یا فراورده سلولی تا بیش از ده برابر قابل حصول در فلاسک‌های غلطان افزایش می‌یابد (۴۲-۱۸). استفاده از انواع ریز حامل برای کشت سلول‌های چسبان نظریر Vero قدمتی چند دهه دارد و سیتودکس یکی از انواع ریز حامل‌های رایج در کشت سلول و فیراسل دیسک (New Brunswick Scientific) به دلیل اندازه‌ی میلی‌متری و ساختار آن، درشت حامل خلل و فرج دار محسوب گشته، حدود یک دهه از معروفی آن می‌گذرد. برخی از ویژگی‌های حامل‌های استفاده شده در این تحقیق در جدول شماره‌ی ۱ دیده می‌شود. با توجه به اینکه فیراسل دیسک برای اولین بار در این تحقیق برای تولید ویروس هاری مورد ارزیابی قرار می‌گیرد، در اینجا به برخی دیگر از ویژگی‌های اشاره می‌شود ایجاد سطح زیادتر در واحد حجم کمتر محیط کشت به نحوی که ۱۰ گرم فیراسل دیسک قابل استفاده در یک حجم ۵۰۰ میلی‌لیتر از محیط کشت است و سطحی برابر 12000 cm^2 ۱۲۰۰ سانتی‌متر مربع ایجاد می‌کند که قابل مقایسه است با $5/2$ گرم سیتودکس در حالی که مقدار مصرف سیتودکس به طور معمول ۳ گرم در لیتر است. سلول‌های چسبیده درون الیاف دیسک‌ها نسبت به سطح ریز حامل‌های شناور بهتر در برابر نیروهای پرشی (Shear Force) ناشی از همزن و یا صدمات ناشی از برخورد دانه‌های ریز حامل به یکدیگر محافظت می‌شوند. محیط کشت و اکسیژن به راحتی در تمام فضای دیسک‌های متراکم شده قادر به جریان هستند. محیط کشت و یا فراورده سلول را می‌توان به راحتی از سلول‌های متصل به دیسک‌ها جدا نمود (۲۰ و ۱۹). عموماً در تهیه‌ی واکسن‌های ویروسی حاصل از کشت سلول، از فراورده‌های حیوانی نظری انواع سرم [Fetal Calf Serum (FCS)] استفاده می‌شود (۲۱). سرم دارای ویژگی منحصر به‌فرد است که حذف آن را از محیط کشت مشکل می‌سازد. برای نمونه می‌توان این موارد را نام برد حاوی انواع مختلفی از

هاری، عفونت ویروسی سیستم اعصاب مرکزی است و شخص هار گزیده در صورت بروز علایم اولیه‌ی بیماری محکوم به مرگ خواهد بود. هاری سالیانه با مرگ بیش از ۵۵ هزار مرگ انسان در سراسر دنیا یکی از نگرانی‌های مهم کشورهای در حال توسعه است و به جز استرالیا، اروپای غربی، شمال آفریقا و آمریکای شمالی، در سایر نقاط همچنان قربانی می‌گیرد. هاری در ایران اندemic است. طبق گزارش WHO، ۲۰۰۹ مورد مرگ انسان و بیش از ۳۰۰ مورد مرگ حیوان ناشی از هاری از بیشتر استان‌هادر آن سال گزارش شده است (۱-۳). در بسیاری از کشورها برنامه‌های منظم آموزشی جهت کنترل، پیشگیری و درمان سریع هاری برقرار است. برخی کشورها تولید واکسن هاری به روش سنتی با کشت ویروس در بافت عصبی و یا جنین جوجه را برای سال‌ها ادامه داده‌اند؛ اگرچه طبق یافته‌های جدید، این نوع از واکسن‌ها می‌توانند برای مصرف کننده بالقوه خطر آلودگی با عوامل ویروسی، پریون، مایکوپلاسمما و ایجاد حساسیت را به همراه داشته باشند (۴-۵). طی سالیان گذشته، شرکت‌های کوچک و بزرگ، رویه‌ی تولید واکسن را از تخم مرغ به بیوراکتورها تغییر داده و کشت سلول‌هایی چون Vero و MRC5 را جایگزین جنین جوجه و بافت عصبی نموده‌اند (۶-۸). واکسن هاری تولید شده با استفاده از سلول Vero ایمن و موثرتر از انواع تولید شده روی بافت‌های عصبی بوده، از انواع تولید شده با استفاده از سلول‌های دیپلوبیید انسانی نظری MRC5 اقتصادی‌تر می‌باشند (۱۳-۱۶). Vero یک سلول وابسته به اتصال (Anchorage-Dependent Cell) می‌باشد که برای تکثیر نیازمند چسبیدن به سطحی مناسب مانند فلاسک یا ریز حامل (Microcarrier) است (۹) اگرچه تلاش‌هایی برای ایجاد انواع تک سلولی شناور نیز انجام شده است (۱۷). ریز حامل‌ها با افزایش نسبت سطح به حجم، سطح وسیعی را در

هورمون‌ها است که همگی برای رشد سلول ضروری هستند.

فاکتورهای ضروری و مفید شامل املاح، ویتامین‌ها و

جدول ۱. مشخصات انواع ریز حامل استفاده شده در این تحقیق

حامل	اندازه به نوع و داده	تراکم استفاده شده	محیط	کارخانه‌ی سازنده
		(گرم در ۵۰۰ میلی‌گرم)	(سانسی‌متر مربع در گرم)	
Cytodex-1	190 µm spherical, non-porous dextran matrix, positively charged, hydrophilic	۲/۷۲	۴۴۰	GE Healthcare, Sweden Cat# 17-0448-01,
Cytodex-3	175 µm spherical, non-porous DEAE-dextran beads coated with denatured porcine-skin collagen	۴/۴۴	۲۷۰۰	GE Healthcare, Sweden Cat# 17-0485-01
Sigma Solohill	125-212 µm, spherical, non-porous porcine collagen coated polystyrene beads,	۱۵	۳۶۰	Sigma, Cat# Z378674
FibraCel disk	6 mm porous disks, non-woven, polystyrene-polypropylene fabric.	۱۰	۱۲۰۰	New Brunswick scientific, Edison,NJ (USA) Cat# M1292-0088

استفاده شود. VP-SFM محصول شرکت GIBCO یک محیط کشت بدون سرم و مناسب برای رشد سلول‌هایی نظری BHK-21 و CHO و Vero است (۲۹ و ۱۰). به هر حال یک محدودیت دیگر در استفاده از محیط بدون سرم حساسیت بیشتر سلول‌های موجود در سطح ریز حامل نسبت به فشارهای مکانیکی ناشی از برخورد ریز حامل‌ها به یکدیگر است در حالی که به نظر می‌رسد سلول‌های متصل به فیراسل دیسک کمتر تحت تاثیر قرار داشته باشند (۱۰ و ۲۹). اگرچه چند دهه از ساخت اولین واکسن انسانی ضد هاری با استفاده از نخاع خرگوش آلووده شده توسط لویی پاستور (۱۸۸۵) می‌گذرد و امروزه انواعی از واکسن‌های معتبر تهیه شده با استفاده از کشت سلول نیز موجود است، از آنجا که هاری یک چالش اجتماعی و بهداشتی در بیشتر کشورهای در حال توسعه باقی مانده است، تحقیق در جهت تولید واکسن هاری انسانی با کیفیت مناسب

حاوی انواعی از خنثی کننده‌های پروتئاز است که به‌ویژه در هنگام تریپسینه کردن سلول‌ها موثر است. سلول‌ها در برابر نیروهای برشی اعمال شده توسط همزن به‌طور غیراختصاصی تا حدی محافظت می‌کند. توانایی اتصال به برخی مواد سمی را داشته، موجب حذف آن‌ها از دسترس سلول‌ها می‌گردد. در کنار این مزایا، مواردی از معایب سرم نیز باعث شده است حذف سرم در دستور کار محققین و برخی از تولید کننده‌های فراورده‌های حاصل از سلول قرار بگیرد مانند تفاوت خصوصیات انواع سرم تهیه شده از منابع مختلف جغرافیایی، امکان وجود عوامل مضر شناخته شده و ناشناخته نظری ویروس، پریون و مایکوپلاسمایا، تحمیل مراحل جداسازی جهت تخلیص فراورده و شرایط خاص نگهداری و حمل و نقل (۲۱-۲۵ و ۱۳). انواع زیادی از محیط کشت‌های بدون سرم (Serum Free Media) به صورت تجاری در دسترس است که می‌تواند به‌طور اختصاصی برای هر رده‌ی سلولی

شرکت New Brunswick Scientific (NBS) خریداری شد و مطابق دستورالعمل کارخانه‌ی سازنده آماده شد. سیتوودکس قبل از استفاده، در بافر فسفات (PBS) بدون کلسیم منزیبوم به مدت ۶ ساعت خیسانده شد و پس از اتوکلاو شدن و تخلیه PBS به فلاسک همزن دار (Spinner Flask) حاوی محیط کشت اضافه گردید. سیگما سولوهیل پس از قرار گرفتن به مدت ۲ ساعت در آب مقطر و پس از اتوکلاو شدن در PBS به محیط کشت گرم اضافه شد. فیراسل دیسک ابتدا در فلاسک همزن دار PBS (Spinner Basket, NBS. cat# M1222-9991) حاوی استریل شد و سپس محیط کشت جایگزین PBS گردید.

SFM سازش پذیری (Adaptation) سلول به محیط برای این منظور از روش آداتپاسیون متوالی (sequential) که توسط شرکت Invitrogen توصیه می‌شود، استفاده شد. ابتدا یک آمپول حاوی سلول از حالت فریز به سرعت یخ زدایی شد و در فلاسک کوچک (۲۵ سانتی متر) حاوی محیط کشت (DMEM +FBS(10% در انکوباتور ۳۷ درجه سانتی گراد حاوی CO₂ ۵ درصد برای ۴ تا ۳ روز قرار گرفت تا لایه‌ی سلولی کامل در تمام سطح فلاسک ایجاد شد. سلول‌ها در فاز لگاریتمی رشد به روش استاندارد تریپسینه شدند و تعداد 3×10^5 سلول به فلاسک حاوی ۷۵ درصد از DMEM حاوی سرم و ۲۵ درصد از VP-SFM منتقل شد و سلول‌ها در انکوباتور قرار گرفتند. پس از تشکیل لایه‌ی تک سلولی کامل، مجدداً سلول‌ها تریپسینه شدند و مراحل فوق در محیط حاوی ۵۰ درصد محیط سرم‌دار و ۵۰ درصد محیط بدون سرم تکرار شد. این کار تا رسیدن به کشت سلول در محیط کاملاً بدون سرم و حصول غلظت 3×10^9 سلول در شرایطی که بیش از ۹۰ درصد سلول‌های نهایی زنده باشند ادامه یافت. از سلول‌های آداتپه شده پس از چند تکثیر، به روشی که توسط Rourou شرح داده شده است بانک کاری سلول تهیه شد. در این مرحله سلول‌های تکثیر یافته در

و ارزان با استفاده از روش‌های سنتی و یا نوین در کشورهایی نظیر چین، تایلند، هند، پاکستان، تونس، بربادیل در حال انجام است (۲۶ و ۱). ایران به عنوان کشوری آلوده به هاری تاکنون تنها خریدار این واکسن بوده است و تا امروز تحقیق بنیادی برای تولید آن انجام نشده است. گزارشی در مورد استفاده از سلول Vero رشد یافته بر فیراسل جهت تولید ویروس هاری به چاپ نرسیده است. در این تحقیق تولید ویروس هاری به منظور ساخت واکسن انسانی علیه هاری در حد آزمایشگاه با استفاده از سلول Vero رشد یافته روی فیراسل دیسک به عنوان یک بستر جدید و سه نوع حامل دیگر مورد ارزیابی و مقایسه قرار گرفت تا شاید نتایج حاصله زمینه‌ساز آغاز تحقیقات بیشتر برای تولید صنعتی این واکسن باشد.

روش بررسی

رده‌ی سلولی: سلول Vero با شماره‌ی پاساژ ۱۴۰ از انستیتو پاستور فرانسه تهیه شد. طی ۱۰ پاساژ بانک کاری سلول (WCB) آماده گردید. برای استفاده از محیط کشت بدون سرم بانک سلول آداتپه شده به محیط VP-SFM نیز ایجاد شد.

سویه‌ی ویروس: ویروس هاری سویه (Pasteur Virus PV) از انستیتو پاستور ایران تهیه شد. PV یک ویروس ثابت شده (fixed) و یکی از سویه‌های منتخب برای تولید واکسن هاری برای مصارف انسانی و دامی می‌باشد (۲۷).

محیط کشت: محیط‌های کشت DMEM, M199, VP-SFM از شرکت Invitrogen خریداری شد. FCS و سرم آلبومین گاوی (BSA) از شرکت Gibco و سایر مواد و معرف‌ها از سیگما تهیه گردید.

آماده سازی انواع حامل‌ها: (cat# 17-0448- Cytodex-1) (cat# 17-0485-01) (cat# 3-01) از شرکت Cytodex-3 (cat# z378674) Sigma Solohill, GE-Healthcare از (cat# M1292-0088.) FibraCel disk Sigma و شرکت

کشت برای اندازه‌گیری pH، غلظت گلوکز، لاکتات و آمونیوم به صورت روزانه استفاده گردید. از کیت‌های ساخت شرکت Biovision برای اندازه‌گیری گلوکز (Cat # k606-100) و لاکتات (Cat# k627-100) و برای اندازه‌گیری آمونیوم از کیت ساخت سیگما (Cat# AA0100) استفاده شد. برای شمارش سلول‌های متصل ابتدا ریز حامل‌ها و دیسک‌ها سه مرتبه با PBS شسته شدند، بافر تخلیه شد و محلول کریستال ویوله حاوی اسید سیتریک (۰/۱ مول) و تریتون ۱۰۰-X (۰/۱ درصد) داخل لوله‌ها اضافه شد. پس از نگهداری نمونه‌ها به مدت ۳۰ دقیقه در حمام آب ۳۷ درجه‌ی سانتی‌گراد، سلول‌ها لیز شده، هسته‌ی سلول‌ها با استفاده از لام هموسیتومر شمارش گردید که بیانگر تعداد سلول متصل به حامل‌ها می‌باشد. نرخ اختصاصی رشد (Specific Growth Rate) توسط معادله زیر محاسبه شد (۳۰):

$$\mu = \frac{\ln X_n - \ln X_{n-1}}{t_n - t_{n-1}}$$

در این فرمول μ نشان دهنده‌ی نرخ اختصاصی رشد بر حسب ساعت (h^{-1}), X نشان دهنده‌ی غلظت سلول در زمان نمونه‌برداری و t نشان دهنده‌ی زمان بین دو نمونه برداری است. برای پایش وضعیت اتصال سلول‌ها روی حامل‌ها، روزانه یک قطره از محیط کشت حاوی ریز حامل روی لام ساده با درشت نمایی $100\times$ توسط میکروسکپ (Inverted) بررسی شد و نسبت سلول‌های چسیده و نسبت سطح خالی مانده در ۱۰۰ عدد ریز حامل به صورت چشمی تخمین زده شد (۲۶).

تلقيق ویروس و ارزیابی سلول‌های آلوده: پس از قرار گرفتن سلول‌ها در اوخر فاز لگاریتمی رشد، محیط کشت تخلیه شد؛ و سلول‌ها دو مرتبه با محیط تولید ویروس شسته شدند سپس محیط کشت حاوی ویروس PV با غلظت عفونت‌زاوی (Multiplicity of Infection) برابر 0.83 MOI به هر فلاسک انتقال یافت. برای ارزیابی سلول‌های آلوده به ویروس متصل

شرایط بدون سرم به تعداد 2×10^6 در هر ویال در محیط VP-SFM حاوی (۱۰ درصد) DMSO و متیل سلولوز (۰/۱ درصد) به منظور کاهش صدمات فیزیکی فریز شدن (۲۸).

رشد سلول‌ها در فلاسک: برای رشد سلول‌ها روی ریز حامل‌ها از اسپینر فلاسک ۵۰۰ میلی‌لیتری و برای رشد سلول‌ها روی فیراسل دیسک از اسپینر بسکت ۵۰۰ میلی‌لیتری استفاده شد. ابتدا سلول‌ها در فلاسک کوچک کشت شدند و سپس در فلاسک متوسط (۷۵ سانتی‌متر) تجدید کشت به دفعات لازم انجام شد تا تعداد کافی سلول ($1/25\times 10^6$ سلول در سانتی‌متر مربع) برای تلقيق به فلاسک‌ها آماده گردد. از VP-SFM+ ۴mM l-glutamine به عنوان FCS محیط کشت فاقد سرم و از DMEM دارای ۱۰ درصد FCS به عنوان محیط دارای سرم استفاده شد. فلاسک‌های حاوی محیط کشت ($pH=7/2$)، حامل و سلول به انکوباتور ۳۷ درجه‌ی سانتی‌گراد دارای ۵ درصد CO_2 درصد متقل شده در حالی که شیکر در ابتدا با سرعت ۳۰ rpm و پس از ۶ ساعت با ۴۵ rpm تنظیم شد. در فاز رشد از سامانه‌ی تعویض گامی محیط کشت (Stepwise Perfusion) استفاده شد که در آن روزانه ۷۰ درصد از محیط کشت مصرف شده با محیط کشت تازه تعویض می‌گردد. در این تحقیق هر آزمایش (جدول ۲) به صورت یکبار تکرار (Duplicate) انجام شد.

نمونه‌برداری: جهت شمارش سلول‌ها و اندازه‌گیری pH و متابولیت‌ها روزانه ۵ میلی‌لیتر از محیط کشت حاوی ریز حامل تحت شرایط آسپتیک در لوله‌ی آزمایش جمع‌آوری شد. برای نمونه‌برداری از فیراسل دیسک درون اسپینر بسکت، در شرایط آسپتیک و با استفاده از یک پنس بلند روزانه ۱۰ عدد دیسک و ۵ میلی‌لیتر محیط کشت در یک لوله آزمایش جمع‌آوری گردید. اندازه‌گیری متابولیت‌ها و شمارش سلول‌ها: نمونه محیط

عنوان واکسن تجربی به روش NIH (National Institute of Health) مورد ارزیابی قرار گرفت (۳۱). در این روش ابتدا موش‌های سوری با تزریق واکسن تجربی در صفاق در دو نوبت صفر و ۷ روز ایمن سازی شدند و سپس ویروس سویه‌ی CVS (Challenge Virus Standard) ویروس استاندارد چالش بر (Challenge Virus Standard) موش‌های ایمن شده تزریق می‌باشد داخل مغز (Cerebral) موش‌های ایمن شده تزریق گردید. همزمان و برای کنترل از واکسن خارجی مورد تایید نیز استفاده شد. توان ایمنی زایی واکسن به صورت واحد بین‌المللی در دوز تزریقی (IU) گزارش گردید.

یافته‌ها

طی ۸ آزمایش مجزا (جدول ۲) تعداد سلول، غلظت گلوكز، لاكتات، آمونیوم، تعداد ویروس و تعداد سلول پس از آلودگی به صورت روزانه پایش شد. رشد سلول: اتصال سلول‌ها به فیبراسل سریع‌تر رخ داد به نحوی که بیش از ۹۵ درصد سلول‌ها در فاصله‌ی زمانی ۲۵ تا ۴۵ دقیقه از محیط کشت ناپدید شده، به الیاف فیبراسل متصل شدند. کمترین گرایش برای اتصال نیز مربوط است به سیتودکس-۳ به نحوی که پس از ۱۰ ساعت حدود ۸۰ درصد سلول‌ها به ریز حامل‌ها متصل شدند (نتایج نشان داده نشده است) با توجه به شکل ۱ بیشترین تعداد سلول معادل 7×10^6 سلول در میلی‌لیتر در فلاسک حاوی DMEM و ۱۰ گرم فیبراسل دیسک در روز نهم ($SGR = 0/015$) حاصل شده است در حالی که کمترین تعداد سلول به دست آمده برابر ($SGR = 0/016$) $2/91 \times 10^6$ سلول در میلی‌متر مربوط است به فلاسک حاوی VP-SFM و $2/75$ گرم سیتودکس-۳ در روز ششم. سلول‌های متصل به سیگما سولوهیل در روز چهارم به بیشترین غلظت خود برابر ($0/017$) $2/35 \times 10^6$ رسیدند. با توجه به نمودار ۲ دانسته‌ی نهایی سلول‌های سازش یافته به محیط کشت بدون سرم (VP-SFM) کمتر اما قابل مقایسه با محیط دارای سرم می‌باشد.

به ریز حامل، یک میلی‌لیتر از محیط حاوی میکروکریر سه مرتبه با PBS شسته شد سپس سلول‌ها با استفاده از محلول استاندارد تریپسین از حامل جدا شدند و پس از آنکه توسط بافر PBS شسته شدند یک قطره از آن روی لام قرار گرفت و در زیر هود لامینار خشک شد. سپس گسترش در محلول استن ۸۰ درصد خنک به مدت ۳۰ دقیقه قرار گرفت تا سلول‌ها روی لام ثابت شدند. سطح لام با محلول فلورسین ایمونوگلوبولین ضد نوکلئوکپسید هاری به مدت یک ساعت رنگ شد و سپس با میکروسکوپ فلورسنت بررسی شد (۲۶).

تیتراسیون ویروس هاری: غلظت ویروس هاری به روش Rffit (Rapid Fluorescent Focus Inhibition Test) Modified Rffit (Fluorescent Focus Units) FFU/ml اندازه‌گیری شد و به صورت توانایی گزارش شد (۴۳ و ۴۰، ۲۹). این روش بر اساس توانایی رقت‌های مختلف نمونه حاوی ویروس در آلوده سازی کشت تک لایه یک سلول حساس مانند BHK-21 در میکرو پلیت است. پس از اضافه شدن آنتی ریبونوکلئوپروتئین کنزوگه ضد هاری به هر چاهک، تعداد واحد تجمع درخشنان سلول‌های آلود (FFU) که با میکروسکوپ اینورت قابل شمارش است، نمایانگر غلظت ویروس می‌باشد. برای محاسبه‌ی نرخ تولید ویروس از فرمول زیر استفاده شد:

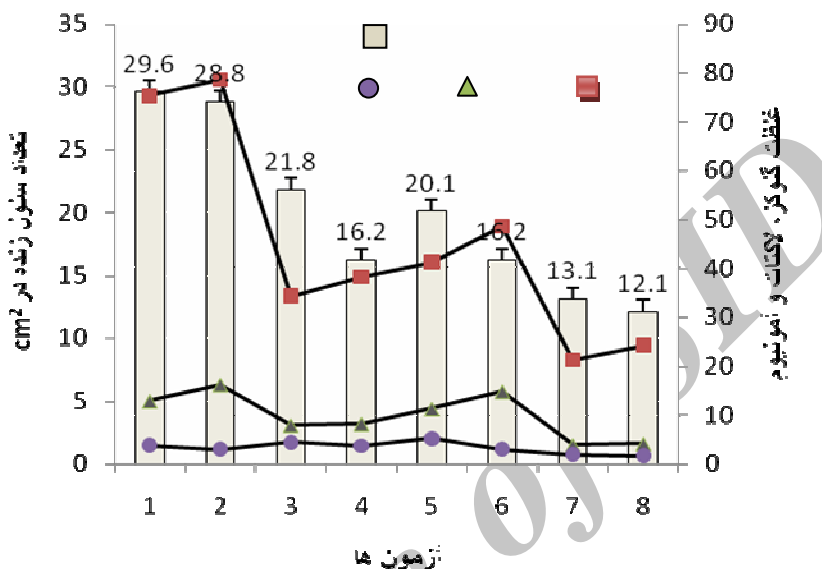
$$P = \frac{C}{(X_i - X_e)} \times \frac{1}{IP}$$

در این معادله P: نرخ تولید ویروس (Overall Virus Productivity) بر حسب FFU/ml/hr. C: غلظت ویروس، X_i : تعداد سلول در هنگام آلود شدن، X_e : تعداد سلول در پایان تولید ویروس، IP: مدت زمان آلودگی سلول بر حسب ساعت می‌باشد.

اندازه‌گیری توان ایمنی زایی (Potency) واکسن هاری: محیط کشت حاوی ویروس پس از عبور از فیلتر $0/45$ میکرون با استفاده از بتا پروپیولاکتون (0:4000) غیرفعال گردید و به

آمونیوم برابر 0.37 میلی مول بود. نتایج مختلف نشان می‌دهد که در محیط کشت فاقد سرم (VP-SFM) غلظت گلوکز مصرفی و لاکتات تولید شده بیشتر و غلظت آمونیوم تولید شده کمتر بوده است.

پایش متابولیت‌های سلولی: در نمودار ۲ دیده می‌شود که بیشترین مقدار گلوکز مصرفی برابر با $78/55 \text{ میلی مول}$ مربوط به استفاده از فیبراسل دیسک و DMEM است. در این آزمایش مقدار نهایی لاکتات برابر $12/78 \text{ و مقدار نهایی}$



نمودار ۱: دانسته‌ی سلول *Vero* $10,000$ رشد یافته روی انواع حامل (مطابق جدول ۲) و ارزیابی مقدار مصرف گلوکز تولید لاکتات و آمونیوم ($\times 10\text{mM}$) در ۸ آزمایش جدالگانه مطابق جدول ۲.

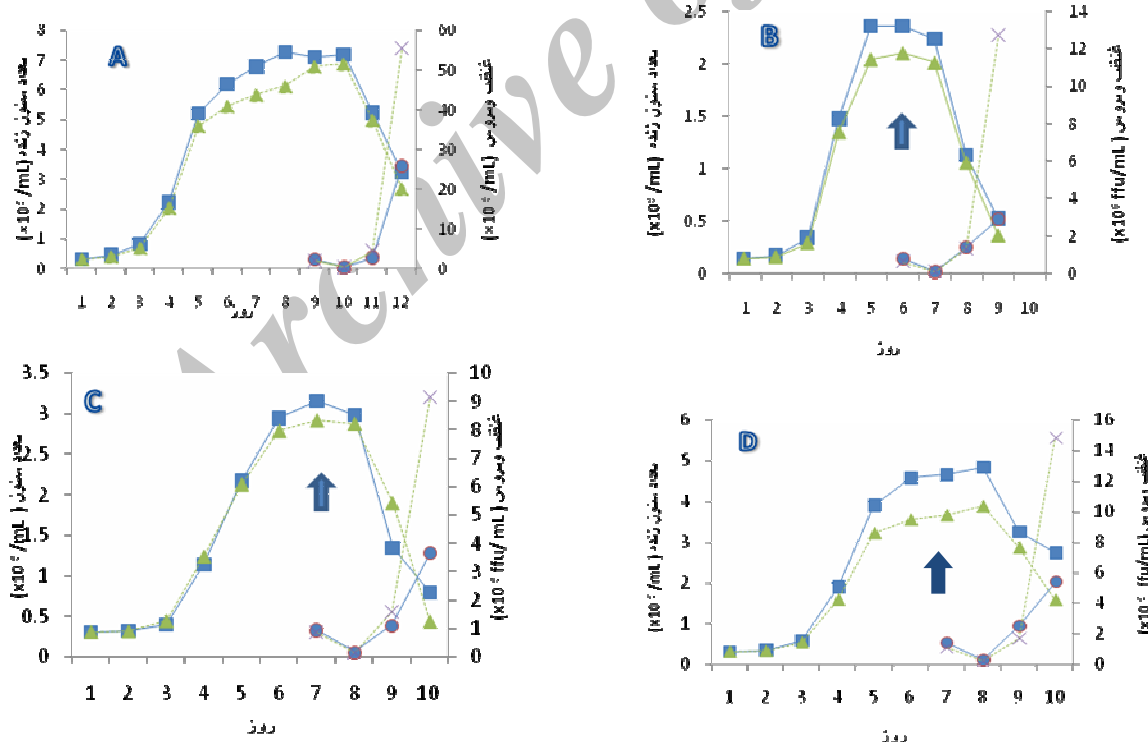
سلول‌های متصل شده به سیتوکس-۳-FFU/cell/hr) و سیگما سولوهیل (که به واسطه‌ی مقدار سطح کمتر مهیا شده حامل تعداد کمتری از سلول نیز بوده است بود). شمارش سلول‌ها سه روز پس از آلدود شدن با ویروس نشان داد (جدول ۲) که بیشترین نرخ مرگ و میر سلول‌های آلدود به ویروس مربوط به فلاسک حاوی ریز حامل‌ها و کمترین مقدار کاهش مربوط به فلاسک حاوی فیبراسل دیسک بود.

اندازه‌گیری توان ایمنی‌زایی واکسن (Potency test): محیط کشت VP-SFM حاوی ویروس در روز سوم پس از آلدودگی از فلاسک حاوی فیبراسل دیسک به روش NIH مورد ارزیابی قرار گرفت و ایمنی‌زایی IU $2/75$ برای آن تعیین شد.

تولید ویروس: مشاهده‌ی میکروسکوپی سلول‌ها دو روز پس از تلقیح ویروس نشان داد که بیش از 70 درصد سلول‌ها آلدود هستند. در تمام آزمون‌ها مقدار ویروس طی روز سوم به حداقل غلظت رسید و بیشترین غلظت ویروس معادل $55/18 \times 10^9 \text{ FFU/ml}$ و $0/186 \text{ FFU/cell/hr}$ در آزمایش ۲ (جدول ۲) با استفاده از فیبراسل دیسک در محیط کشت VP-SFM حاصل شد در حالی که در آزمایش ۱ با استفاده از $M199+0/2\% \text{ BSA}$ غلظت ویروس کاهش داشته، برابر $25/73 \times 10^9 \text{ FFU/ml}$ و $0/08 \text{ FFU/cell/hr}$ بود. در مجموع آزمایش‌ها غلظت ویروس به دست آمده در محیط VP-SFM بیشتر از محیط $M199$ بود (نمودار ۲). با توجه به جدول ۲، در شرایط مشابه، کمترین نرخ تولید ویروس مربوط به

جدول ۲: نوع حامل و محیط کشت استفاده شده در آزمایش‌ها و تاثیر آن بر رشد سلول و تولید ویروس هاری

آزمون	نوع حامل	۱	۲	۳	۴	۵	۶	۷	۸
Cytodex-1			Cytodex-1			Sigma Solohill			Fibra cel disk
DMEM	VP-SFM	DMEM	VP-SFM	DMEM	VP-SFM	DMEM	VP-SFM	VP-SFM	محیط کشت سلول
M199	VP-SFM	M199	VP-SFM	M199	VP-SFM	M199	VP-SFM	VP-SFM	محیط تولید ویروس
$3/10 \times 10^7$	$2/91 \times 10^7$	$4/82 \times 10^7$	$3/72 \times 10^7$	$2/35 \times 10^7$	$2/03 \times 10^7$	$7/1 \times 10^7$	$7/91 \times 10^7$	$7/91 \times 10^7$	تعداد سلول در میلی متر
131×10^3	121×10^3	201×10^3	100×10^3	219×10^3	162×10^3	296×10^3	288×10^3	288×10^3	تعداد سلول در سانتی متر مربع
$0/016$	$0/016$	$0/017$	$0/015$	$0/029$	$0/023$	$0/010$	$0/013$	$0/013$	نرخ اختصاصی رشد (h^{-1})
$21/17$	$24/13$	$41/18$	$48/54$	$34/26$	$38/15$	$75/23$	$78/55$	$78/55$	گلوکز مصرف شده
$3/78$	$4/08$	$11/2$	$14/76$	$7/83$	$8/12$	$12/28$	$16/1$	$16/1$	لاکتات
$0/19$	$0/16$	$0/01$	$0/029$	$0/043$	$0/036$	$0/037$	$0/029$	$0/029$	آمونیوم
$3/66$	$9/10$	$5/36$	$14/83$	$2/87$	$12/65$	$25/73$	$55/18$	(FFU/ml)	ویروس در میلی لیتر
$0/021$	$0/051$	$0/036$	$0/089$	$0/021$	$0/101$	$0/79$	$0/18$	$0/18$	نرخ تولید ویروس



نمودار ۲: منحنی رشد سلول Vero در محیط (A) و (B) و VP-SFM (C) و (D) در فلاسک همزن دار ۵۰۰ میلی لیتری حاوی فیبراسل دیسک (A) و سیگما سولوهیل (B)، سیتودکس-۳ (C)، سیتودکس-۱ (D)

بحث

روش‌های دیگر نظیر گرددش مجدد محیط کشت (Recirculation) که در آن محیط کشت مصرف شده با محیط کشت تازه مخلوط می‌گردد، نیز مورد توجه قرار دارد (۳۰). مقدار سیتودکس-۱، سیتودکس-۳ و فیراسل دیسک استفاده شده در این آزمایش‌ها مساحتی برابر ۱۲۰۰۰ سانتی متر مربع در ۵۰۰ میلی لیتر از محیط کشت فراهم کردند و سیگما سولوهیل به دلیل نسبت کمتر وزن به سطح (۳۸۰ گرم بر سانتی متر) و با توجه به توصیه‌ی شرکت سازنده به مصرف آن در مقدار ۳۰ تا ۲۰ گرم در لیتر، در این آزمایش‌ها با مساحت معادل ۵۴۰۰ سانتی متر مربع استفاده شده است. مقایسه‌ی نتایج مربوط به رشد سلول‌ها در آزمایش‌های مختلف نشان می‌دهد که رشد سلول‌ها در محیط سرم دار DMEM نسبت به VP-SFM کمی بیشتر، اما قابل مقایسه هستند که نشان دهنده‌ی توان VP-SFM در تأمین نیازهای سلول Vero در فقدان سرم می‌باشد (۲۹). همچنین رشد سلول‌ها روی سیتودکس-۳ ضعیفتر از سیتودکس-۱ بوده است که می‌تواند ناشی از سرعت کمتر اتصال سلول‌ها به سیتودکس-۳ باشد. رورو نیز در گزارش خود به این مطلب اشاره کرده است که اتصال Vero روی سیتودکس-۱ و سیتودکس-۳ به ترتیب در مدت زمان ۶ و ۱۳ ساعت رخ می‌دهد (۳۶). در مقایسه‌ی سیتودکس-۱ با سیگما سولوهیل، دانسیته‌ی سلول در واحد سطح سیگما سولوهیل کمی بیشتر می‌باشد؛ اما با توجه به عدم امکان استفاده از مقدار بیشتر از این ریز حامل، دانسیته‌ی سلول در واحد حجم محیط کشت کاهش نشان می‌دهد و بنابراین می‌توان نتیجه گرفت که سیتودکس-۱ بهتر از دو ریز حامل دیگر موجبات رشد سلول‌ها را فراهم کرده است. نتایج مربوط به فیراسل دیسک نشان دهنده‌ی افزایش رشد سلول‌ها به طور قابل توجه نسبت به ریز حامل‌ها است به نحوی که نسبت به سیتودکس-۱، دانسیته‌ی سلول در واحد حجم \log_{10} ۰/۲ تا ۰/۲۷ و در واحد

در تولید واکسن‌های ویروسی با استفاده از کشت سلول دو فاز اصلی وجود دارد. فاز رشد سلول که می‌بایست در آن سلول‌ها با حفظ ویژگی‌های بیولوژیک طبیعی خویش به حداقل تعداد ممکن برستند و برای آلووده شدن با ویروس آماده شوند و فاز تکثیر ویروس که در آن سلول‌ها ضمن حمایت برای زنده ماندن با ویروس آلووده می‌شوند تا ویروس تکثیر یابد. بنابراین تکثیر بیشتر سلول‌ها در فاز رشد و حفظ بهتر سلول‌ها در فاز آلوودگی موجب افزایش غلظت ویروس هاری در فاز تولید خواهد شد (۳۲ و ۳۳). در سامانه Fed Batch به واسطه‌ی رشد سلول‌ها به تدریج مواد مغذی کاهش یافته، متابولیت‌ها نظیر لاکتان و آمونیوم ابافت می‌شوند که موجب توقف سریع تر رشد سلول‌ها می‌گردد در حالی که در این مطالعه از سامانه‌ی کشت تعویض گامی محیط کشت (Stepwise Perfusion) استفاده شد و در تمام آزمایش‌ها غلظت گلوكز در حد ۲ تا ۳ گرم در لیتر و غلظت لاکتان و آمونیوم در سطح پایین تر از حد سمی برای سلول نگه داشته شد. طبق گزارش ونت و شیگر لاکتان در غلظت بیشتر از ۲۰ تا ۳۰ میلی مول برای سلول سمی است و این سمیت عموماً ناشی از کاهش pH و افزایش اسمولاریتی محیط کشت است (۳۷). مقدار آمونیوم نیز در غلظت کمتر از ۲ تا ۳ میلی مول برای حفظ سلول‌ها در شرایط مطلوب توصیه می‌گردد (۳۸). از طرف دیگر طبق مطالعات کوئنسنی، سلول Vero نسبت به سایر سلول‌ها مقاومت بیشتری به افزایش غلظت لاکتان و آمونیوم دارد و مقدار این متابولیت‌ها در SFM حین کشت سلول Vero به حد سمی نمی‌رسد (۳۹). اگرچه سامانه‌ی تعویض گامی محیط کشت با نرخ ۷۰ درصد موجب نگه داشتن غلظت گلوكز و متابولیت‌ها در سطح مطلوب می‌گردد؛ ولی هزینه بیشتری را نیز به دلیل مصرف بیشتر محیط کشت در پی خواهد داشت و بنابراین استفاده از

به دست آمده است (۳۷ و ۲۹). در توضیح دانسیته‌ی سلولی افزایش یافته با استفاده از فیبراسل دیسک باید به این نکته اشاره کرد که این حامل به واسطه ساختمان رشته‌ای بی‌بافت یک درشت حامل دارای خلل و فرج محسوب می‌شود که باعث می‌گردد سلول‌ها به راحتی در بین رشته‌ها قرار بگیرند و به دور از تاثیر نیروهای برشی حاصل از همزن رشد نمایند. ثابت بودن دیسک‌ها در فلاسک باعث می‌گردد که صدمات فیزیکی سلولی ناشی از برخورد سلول‌ها نیز به حداقل برسد ضمن اینکه تعویض گامی محیط کشت کمک می‌کند تا متابولیت‌ها در حد نا مطلوب تجمع نیابند. یوکومیزو گزارش کرده است که ریز حامل‌های دارای خلل و فرج (Macroporous) بهتر از انواع ریز حامل‌های با سطح صاف (نظری سیتوکس و سیگما سولوهیل) سلول‌ها را در برابر صدمات ناشی از نیروهای برشی حفظ می‌کنند (۳۸). صدمات فیزیکی ناشی از نیروهای برشی در محیط کشت فاقد سرم نسبت به محیط دارای سرم بیشتر است و بنابراین مزیت دیگر فیبراسل دیسک می‌تواند امکان بهره‌گیری از آن در محیط فاقد سرم جهت دستیابی به دانسیته‌ی سلول به دست آمده همین جهت است که تفاوت دانسیته‌ی سلول به دست آمده روی فیبراسل دیسک در دو نوع محیط کشت حاوی سرم و فاقد سرم تفاوت کمتری را نسبت به انواع ریز حامل نشان داده است. غلظت ویروس به دست آمده در محیط VP-SFM ۳۲ تا ۳۰ برابر بیشتر از محیط M199 بوده است که با گزارش رورو و مرتن که به ترتیب از VP-SFM و MDSS2 برای تولید ویروس هاری استفاده کرده‌اند، مطابقت دارد (۲۵ و ۲۲). غلظت ویروس به دست آمده با استفاده از فیبراسل در VP-SFM معادل $FFU/ml \times 10^9$ ۵۵ می‌باشد که نسبت به نتایج رورو و تراپلیسی افزایش نشان می‌دهد (۳۰ و ۲۹). مهم‌ترین دلیل افزایش غلظت ویروس حاصل از فیبراسل دیسک نسبت به سایر ریز حامل‌ها را می‌توان ناشی از دانسیته‌ی بیشتر سلول‌های آلوده و امنیت بیشتر آن‌ها در بین الیاف درون

سطح $\log 10 / ۱۸$ تا $۲۵ / ۰$ افزایش داشته است در حالی که به دلیل طولانی تر بودن زمان کشت نرخ اختصاصی رشد کمتری نسبت به سیتوکس ۱- داشته است (جدول ۲). مقایسه‌ی نتایج حاصل از این تحقیق با یافته‌های رورو که از سیتوکس ۱- (۲ گرم در لیتر) در فلاسک همزن دار حاوی 215×10^3 سلول در میلی‌متر $1 / ۸۹ \times 10^9$ سلول در میلی‌متر و همچنین در مقایسه با نتایج تراپلیسی که از سیتوکس ۱- (۳ گرم در لیتر) در فلاسک حاوی 200×10^3 میلی‌لیتر FCS +10% MEM استفاده کرده است (212×10^3 سلول در میلی‌متر مربع و $2 / ۸ \times 10^9$ سلول در میلی‌متر) نشان می‌دهد که استفاده از مقدار بیشتری از سیتوکس ۱- در واحد حجم اگرچه به کمک تعویض گامی محیط کشت موجب افزایش دانسیته‌ی سلول در واحد حجم شده است؛ اما از طرف دیگر موجب کاهش دانسیته‌ی سلول در واحد سطح گردیده است و بنابراین امکان افزایش غلظت ریز حامل علی‌رغم تأمین تمام شرایط مطلوب کشت تها به صورت محدود ممکن خواهد بود که در این صورت یکی از دلایل کاهش سلول می‌تواند افزایش صدمات سلولی ناشی از برخورد ریز حامل‌های شناور به یکدیگر باشد که در غلظت بالاتر بیشتر رخ می‌دهد که البته در بیوراکتور با امکان کنترل بیشتر شرایط کشت نیز وجود خواهد داشت (۳۰ و ۲۹). دانسیته سلولی به دست آمده از فیبراسل دیسک در VP-SFM و DMEM به ترتیب برابر با 288×10^3 و 296×10^3 سلول در میلی‌متر قابل مقایسه است با دانسیته‌ی گزارش شده توسط تراپلیسی برابر با 325×10^3 سلول در سانتی‌متر مربع با استفاده از سیتوکس ۱- (۳ گرم در لیتر) در بیوراکتور ۲ لیتری حاوی MEM در سامانه‌ی کشت گردش مجدد (Recirculation) و بیشتر است از دانسیته‌ی گزارش شده توسط مندونکا و پریرا برابر 113×10^3 و 136×10^3 سلول در سانتی‌متر که به ترتیب با استفاده از ۲ و 10×10^3 گرم در لیتر سیتوکس ۱- در سامانه‌ی کشت perfusion

ویروس هاری مطلوب‌تر از انواع ریز حامل دانست (۴۱).

نتیجه‌گیری

با توجه به یافته‌های این تحقیق و سادگی استفاده از فیبراسل دیسک و نیز امکان تولید بسیار ساده‌تر آن نسبت به ریز حامل‌ها تحقیق جهت استفاده از آن‌ها در حجم نیمه صنعتی برای تکثیر سلول Vero برای تولید واکسن هاری توصیه می‌گردد. این تحقیق در بخش رفانس هاری انسیتو پاستور ایران انجام شده است.

تقدیر و تشکر

از ریاست محترم انسیتو پاستور ایران برای تأمین تمام هزینه‌ها، از همکاران بخش هاری انسیتو پاستور ایران برای همراهی صمیمانه در اجرای این طرح و از خانم دکتر هلاکال (Hela Kallel) و همکاران از انسیتو پاستور تونس برای امکانات آزمایشگاهی و آموزش‌های تکنیکی تشکر به عمل می‌آید.

دیسک‌ها دانست چرا که سلول‌های آلووده (که حساس‌تر نیز می‌باشند) متصل بر سطح ریز حامل‌ها بیشتر در خطر مرگ و میر ناشی از برخورد ریز حامل‌ها به یکدیگر می‌باشند و بنابراین نرخ تولید ویروس در آزمایش با فیبراسل دیسک و M199 بالاتر از سایر آزمایش‌ها است که ناشی از ثبات بیشتر سلول‌ها در پناه دیسک‌ها می‌باشد. تحقیق جهت استفاده از فیبراسل دیسک برای کشت سلول Vero و به منظور تولید ویروس هاری برای اولین بار در این مطالعه موردنظر قرار گرفته است؛ اما استفاده از این حامل قبلاً برای کشت سلول CHO برای تولید ویروس هاری استفاده شده و نتایج رضایت‌بخش‌تر از استفاده از دیگر انواع ریز حامل در برداشته است (۳۹، ۴۰). همچنین گوموشدیر لیوگلو از صفحات رشته‌ای بی‌بافت (NWPF) به مقدار ۵ گرم در لیتر در بیوراکتور حاوی MEM+۱۰ % FBS برای کشت سلول BHK به منظور تولید ویروس هاری استفاده کرد و دانسیتی سلولی برابر با 2×10^7 سلول در میلی لیتر و ویروس با غلظت FFU/ml 2×10^5 را به دست آورد و استفاده از این حامل را برای تولید

References

- 1- Simani S. Rabies. *Pasteur Institute of Iran*. (ISBN 964 06 51575). 1383.
- 2- Meslin FX, Fishbein DB, Matter HC. Rationale and prospects for rabies elimination in developing countries. *Curr Trop Microbiol Immunol*. 1994; 187: 1-26.
- 3- FU ZF, Dietzschold B, Plotkin SA, Rupprecht CE. Improved vaccines against rabies. In: New generation vaccines. New York: Marcel Dekker; 1997.
- 4- Martinez L. Global infectious disease surveillance. *Int J Infect Dis*. 2000; 4: 22210-28.

- 5- Yusibov V, Hooper DC, Rupprecht CE, et al. Expression in plants and immunogenicity of plant virus based experimental rabies vaccine. *Vaccine*. 2002; 20: 3155-64.
- 6- Meslin FX, Kaplan MM. General considerations in the production of brain -tissue and purified chicken embryo vaccines for human use. In Laboratory techniques in rabies. Geneva, Switzerland: WHO; 1996; 360-8.
- 7- Bagchi S. Preventable rabies deaths because of wrong vaccine. *Lancet Neurol*. 2004; 3: 639.
- 8- Glaser V. Bioreactor and fermentor market trends. vaccine and biopharmaceutical product

- developments boost technological innovation. *Genet Eng Biotechnol News.* 2009; 29: 1-4.
- 9- Jagannathan S, Chaansha S, Rajesh K, Santhiya T, Charles C, Venkataramana KN. Standardization and assessment of cell culture media quantities in roller poly ethylene terephthalate bottles employed in the industrial rabies viral vaccine production. *Pakistani J Biolog Sci.* 2009; 12: 1246-52.
- 10- Chen T, Chen K. Investigation and application progress of vero cell serum-free culture. *International J Biol.* 2009; 1: 41-7.
- 11- Vincent-Flaquet JC, Peyron L, Souvras M, Moulin JC, Tekoff J, Patet J. Qualification of working cell banks for the Vero cell line to produce licensed human vaccines. *Dev Biol. Stand.* 1989; 70: 153-6.
- 12- Horaud F, Absence of viral sequences in the WHO-Vero cell bank. A collaborative study. *Dev Biol Stand.* 1992; 76: 43-6.
- 13- Montagnon BJ, Vincent-Flaquet JC, Saluzzo JF. Experience with Vero cells at Pasteur Merieux Connaught. *Dev Biol Stand.* 1999; 98: 137-40.
- 14- Prem Kumar A, Bhaskara R, Joseph A, Mani, K, Swaminathan K. Process Standardization for optimal virus recovery and removal of substrate DNA and bovine serum proteins in Vero cell derived rabies vaccine. *J Biosci Bioeng.* 2002; 94: 375-383.
- 15- Duchene M, Peetersmans J, DHondt E, Harford N, Fabry L, Stephenne J. Production of polio vaccines: past, present and future. *Viral Immunol.* 1990; 3: 243-72.
- 16- Montagnon BJ, Fanjet B, Nicolas AJ. The large-scale cultivation of Vero cells in microcarrier culture for virus vaccine production: preliminary studies for killed poliovirus vaccine. *Dev Biol Stand.* 1981; 47: 55-64.
- 17- Paillet C, Forno G, Kratje R, Etcheverrigaray M. Suspension-Vero cell cultures as a platform for viral vaccine production. *Vaccine.* 2009; 27: 6464-7.
- 18- Van Wezel A. Growth of cell-strains and primary cells on micro-carriers in homogeneous culture. *Nature Lond.* 1967; 216: 64-5.
- 19- New Brunswick Scientific. Inoculation growth and harvesting in a new easy-to-use disposable cell culture system. *Bio Techniques.* 2006; 4: 1-5.
- 20- Vyas R, Cino J. High-yield single-use cell culture systems. *Gent eng news.* 2005; 25: 1-4.
- 21- Merten OW. Safety for vaccines. *Cytotechnol.* 2000; 34: 181-3.
- 22- Merten OW, Kierulff JV, Castignolles N, Perrin P. Evaluation of the new serum-free medium (MDSS2) for the production of different biological: use of various cell lines. *Cytotechnol.* 1994; 14: 47-59.
- 23- Merten OW, Kallel H, Manuguerra JC, et al. The new medium MDSS2N, free of any animal protein supports cell growth and production of various viruses. *Cytotechnol.* 1999; 30: 191-201.
- 24- Frazzati G, Neuza M. Higher production of rabies virus in serum-free medium cell cultures on microcarriers. *J Biotechnol.* 2001; 92: 67-72.
- 25- Frazzati-Gallina NM, Mourao-fuches RM, Paoli RL, et al. Vero-cell rabies vaccine produced using serum-free medium. *Vaccine.* 2004; 23: 511-7.
- 26- Trabelsi K, Rourou S, Loukil H, Majoul S, Kallel H. Optimization of virus yield as a strategy to improve rabies vaccine production by Vero cells in a bioreactor. *J Biotechnol.* 2006; 121:261-71.

- 27- World Health Organization. Requirements for the use of animal cells as in vitro substrates for the production of biological. In: *WHO Technical Report Series*, Geneva: 1998; vol. 878: 20-53.
- 28- Invitrogen. Adaptation of cell cultures to a serum-free medium. Available from: http://www.invitrogen.com/etc/medialib/en/filelibrary/pdf.Par.2474.File.dat/Adaptation_CC_SFM_Y062810_AdaptionOfCell.pdf
- 29- Rourou S, Ark A, Velden T, Kallel H. A microcarrier cell culture process for propagating rabies virus in Vero cells grown in a stirred bioreactor under fully animal component free conditions. *Vaccine*. 2007; 25: 3879-89.
- 30- Trabelsi K, Rourou S, Loukil H, Majoul S, Kallel H. Comparison of virus culture modes for the production of rabies virus by Vero cells grown on microcarriers in a 2-l bioreactor. *Enzyme Microb Biotechnol*. 2005; 36: 514-9.
- 31- Wilbur LA, Aubert MFA. The NIH test for potency. In: WHO Laboratory techniques in rabies. Geneva, Switzerland: 1996; 360-8.
- 32- Swiech K, Silva G, Zangirolami T, Lemma M, Araujo H, Suazo C. Evaluation kinetic and physiological features of rCHO-K1 cells cultured on microcarriers for production of a recombinant metalloprotease/ disintegrin. *Biotechnol*. 2007; 10: 200-10.
- 33- Wentz D, Schiiger K. Influence of lactate, ammonia and osmotic stress on adherent and suspension BHK cells. *Enzyme Microb Technol*. 1992; 14: 68-75.
- 34- Genari C.S, Gomes L, Wada M. Alterations in the growth and adhesion pattern of Vero cells induced by nutritional stress conditions. *Cell biology international*. 1998; 22: 285-94.
- 35- Quesney S, Marvel J, Marc A, Gerdil C, Meignier B. Characterization of Vero cell growth and death in bioreactor with serum-containing and serum-free media. *Cytotechnol*. 2001; 35: 115-25.
- 36- Rourou S, Ark A, Majoul S, Trabelsi K, Velden T, Kallel H. A novel animal-component-free medium for rabies virus production in Vero cells grown on Cytodex 1 microcarriers in a stirred bioreactor. *Applied Microbiol Biotechnol*. 2009; 85: 53-63.
- 37- Mendonca RZ, Periera CA. High density Vero cell culture on microcarriers in a cell bioreactor. *Bioprocess Eng*. 1995; 12: 279-82.
- 38- Yokomizo AY, Antoniazzi MM, Galdino PL, Azambuja N , Jorge SA, Pereira CA. Rabies virus production in high Vero cell density cultures on macroporous microcarriers. *Biotechnol Bioeng*. 2004; 85: 506-15.
- 39- Namdev PK, Lio P. Assessing a disposable bioreactor for attachment-dependent cell cultures. *Bio Pharm*. 2000; 13: 44-51.
- 40- Gorfien SF, Paul W, Judd D, Tescione L, Jayme DW. Optimized nutrient additives for fed-batch cultures. *Bio Pharm International*. 2003; 16: 34-8.
- 41- Gumusderelioglu M, Aslankaraoglu E, Gurhan S. Rabies virus production in non-woven polyester fabric (NWPF) packed-bed reactors. *Biotechnol Applied Biochemistry*. 2001; 33: 167-72.
- 42- Smith J, Yager P, Baer G. A rapid tissue culture test for determining rabies virus neutralizing antibody. *Monogr Ser World Heath Organ*. 1973; 23: 354-7.

Comparison of Four Different Types of Carriers for the Growth of Vero Cells and Propagating Rabies Virus for Production of Human Rabies Vaccine

Hassanzadeh SM¹, Fayaz A², Zavareh A³, Khanahmad H⁴, Ramezani A⁵

¹QC Dept. of Production of Pasteur Institute of Iran, Tehran, Iran

²WHO-Collaborating Centre for Reference and Research on Rabies, Pasteur Institute of Iran, Tehran, Iran

³Viral Vaccines Unit, Production & Research Complex of Pasteur Institute of Iran, Tehran, Iran

⁴R&D Unit, Production & Research Complex of Pasteur Institute of Iran, Tehran, Iran

⁵Dept. of Biotechnology, School of Pharmacy, Zanjan University of Medical Sciences, Zanjan, Iran.

Corresponding Author: Fayaz A, WHO-Collaborating Centre for Reference and Research on Rabies, Pasteur

Institute of Iran, Tehran, Iran

E-mail: Fayaz@pasteur.ac.ir

Received: 28 Feb 2011 **Accepted:** 13 Oct 2011

Background and Objectives: In this study, capability of Vero cells for growth on FibraCel disks were compared on 3 kinds of microcarriers including Cytodex-1, Cytodex-3, and Sigma Solohill in 500 ml Spinner flasks in both serum contained medium (DMEM+10% Fetal Calf Serum, FCS) and serum-free medium (VP-SFM). The propagation of fixed PV (Pasteur Virus) strain of rabies in Vero cells, for production of rabies vaccine, grown under the above conditions were studied and compared.

Materials and Methods: Stepwise perfusion mode in growth phase and batch mode were applied in the virus production step by the use of M199 +0.2% Bovine Serum Albumin (BSA) and VP-SFM as serum containing and serum-free media, respectively. The available surface area provided by the carriers, and primary cell density in the experiments were assumed the same (about 12,000 cm² and 12,500 cells/cm², respectively).

Results: The highest cell density was achieved on FibraCel disks in DMEM equal to $7.1 \pm 0.7 \times 10^6$ cells/ml on day 9, while the lowest cell density was obtained on Cytodex-3 in VP-SFM equal to $2.91 \pm 0.2 \times 10^6$ cells/ml. The highest virus titer ($55.18 \pm 4.4 \times 10^6$ Fluorescent Focus Unit, FFU/ml) was gained in VP-SFM containing FibraCel disks, and the lowest titer ($3.66 \pm 0.4 \times 10^6$ FFU/ml) was resulted on Cytodex-3 in M199.

Conclusion: In these experiments, FibraCel disks supported the growth of Vero cells better than the microcarriers, and the use of DMEM for propagation of Vero cells and VP-SFM for proliferation of rabies virus showed better results. The experimental vaccine prepared by collected virus from VP-SFM has an acceptable potency of 2.75 IU. Based on these results and to the relative ease for making FibraCel disks, we recommend the use of this carrier for propagation of Vero cells and production of rabies virus.

Keywords: Microcarrier, Cytodex, Fibracel disk, Vero, Rabies